

УДК 62-40

ТЕХНОЛОГИЯ РЕШЕНИЯ МНОГОКРИТЕРИАЛЬНЫХ ЗАДАЧ УПРАВЛЕНИЯ СИСТЕМАМИ С РАСПРЕДЕЛЁННЫМИ ПАРАМЕТРАМИ*

Э. Я. Рапопорт, Ю. Э. Плешивцева

*Самарский государственный технический университет,
443100, г. Самара, ул. Молодогвардейская, 244
E-mail: edgar.rapoport@mail.ru
yulia_pl@mail.ru*

Предлагается конструктивная технология многокритериальной оптимизации процессов управления техническими объектами с распределёнными параметрами, базирующаяся на однокритериальной версии в виде минимаксной свёртки нормализуемых критериев качества. Развиваемый подход основан на переходе к эквивалентной форме вариационной задачи с ограничениями, решение которой априори является парето-эффективным. Дальнейшие процедуры предварительной параметризации управляющих воздействий и последующей редукции к специальной задаче полубесконечного программирования позволяют найти искомые экстремали с использованием их чебышевских свойств и фундаментальных закономерностей предметной области. Приводится представляющий самостоятельный интерес пример многокритериальной оптимизации режимов функционирования объекта технологической теплофизики.

Ключевые слова: многокритериальная оптимизация, системы с распределёнными параметрами, оптимальное управление, полубесконечная оптимизация, альтернативный метод.

DOI: 10.15372/AUT20170402

Введение. Оценка эффективности функционирования сложных управляемых систем, как правило, производится в приложениях по целому ряду показателей качества, чаще всего конфликтующих друг с другом, что приводит к представляющей большой самостоятельный интерес многокритериальной (векторной) задаче выбора возможных альтернатив для управляющих воздействий в условиях неопределённости целей процесса управления [1–7]. Отбор приемлемых вариантов происходит при этом среди эффективных решений (множество Парето), не улучшаемых ни по одному из критериев без ухудшения показателей по какому-либо из остальных.

Традиционные способы редукции исходной многокритериальной задачи управления (МЗУ) к однокритериальной свёртке компонентов векторной целевой функции с заданными весовыми коэффициентами приводят к построению множества Парето путём перебора всех допустимых значений таких коэффициентов, вследствие чего возникает самостоятельная проблема оптимального выбора в пределах этого множества единственной альтернативы в условиях значительного числа возможных вариантов [2–7].

Переход путём соответствующей процедуры нормирования к относительным оценкам всех составляющих векторного критерия с последующим использованием их минимаксной (или максиминной) свёртки с единичными весовыми коэффициентами позволяет непосредственно получить парето-эффективное решение многокритериальной задачи [2, 6], которая сводится после параметризации искомых управляющих воздействий к специальной

*Работа выполнена при финансовой поддержке Министерства образования и науки РФ (проектная часть госзадания, проект № 10.3260.2017/ПЧ).

задаче математического программирования с учётом всех изначально заданных ограничений [3–6].

Целью предлагаемого исследования является разработка на основе подобного подхода конструктивной технологии решения МЗУ бесконечномерными моделями объектов с распределёнными параметрами, для которых формулируемая в итоге задача математического программирования принципиально усложняется и принимает вид задачи полубесконечной оптимизации с бесконечным числом ограничений в типичных для приложений случаях их оценки в равномерной метрике [8, 9].

В этих условиях применяются процедура последовательной параметризации искомых управляющих воздействий и конструктивные вычислительные алгоритмы альтернативного метода поиска решений задачи полубесконечной оптимизации, ориентированные на существенное использование базовых закономерностей предметной области исследуемой МЗУ [8–10].

Постановка многокритериальной задачи управления. Пусть управляемая функция состояния $Q(X, t)$ объекта с распределёнными параметрами описывается в зависимости от времени $t \in (0, t^*)$ и пространственных координат $X \in V$, $X = (x_i)$, $i = \overline{1, m}$, $1 \leq m \leq 3$, в пределах заданной односвязной области V m -мерного евклидова пространства E^m с кусочно-гладкой границей S линейным неоднородным уравнением в частных производных параболического типа с постоянными во времени коэффициентами [11]

$$\frac{\partial Q}{\partial t} = \sum_{i=1}^m a_i(X) \frac{\partial^2 Q}{\partial x_i^2} + \sum_{i=1}^m b_i(X) \frac{\partial Q}{\partial x_i} + c(X)Q + g_V(X)u_V(t) \quad (1)$$

с начальными и граничными условиями

$$Q(X, 0) = f(X), \quad X \in V \cup S; \quad \frac{\partial Q}{\partial N} + \beta Q = g_S(X)u_S(t), \quad X \in S, \quad (2)$$

и сосредоточенными внутренними $u_V(t)$ или/и граничными $u_S(t)$ управляющими воздействиями при изначально фиксируемых функциях $g_V(X)$, $g_S(X)$ их пространственного распределения. Здесь N — вектор внешней нормали к S ; $\beta = \text{const} \geq 0$; t^* — конечный момент процесса управления; дифференциальный оператор в правой части (1) самосопряжённый; функция $f(X) \in L_2(V)$ и коэффициенты $a_i(X)$, $b_i(X)$, $c(X)$ являются известными достаточно гладкими функциями своих аргументов, причём не все $a_i(X)$ в (1) одновременно равны нулю.

Управляющие воздействия $u(t) \in \{u_V(t), u_S(t)\}$ должны быть подчинены ограничениям

$$u_{\min} \leq u(t) \leq u_{\max}, \quad t \in [0, t^*], \quad (3)$$

с известными предельно допустимыми значениями u_{\min} и u_{\max} .

Представление управляемой величины $Q(X, t) \in L_2(V)$ в форме её разложения в сходящийся в среднем ряд по ортонормированной с весом $r(X)$ системе собственных функций $\varphi_n(X)$, определяемых по известной технологии метода конечных интегральных преобразований [12]

$$Q(X, t) = \sum_{n=1}^{\infty} \bar{Q}_n(t) \varphi_n(X); \quad \bar{Q}_n(t) = \int_V Q(Y, t) \varphi_n(Y) r(Y) dY, \quad (4)$$

приводит при сосредоточенных управлениях $u_V(t)$, $u_S(t)$ к описанию модели объекта поведением бесконечного числа его временных мод $Q_n(t)$ [11–13]:

$$\frac{d\bar{Q}_n}{dt} = -\mu_n^2 \bar{Q}_n + k_{Vn} u_V(t) + k_{Sn} u_S(t), \quad n = 1, 2, \dots; \quad \bar{Q}_n(0) = \bar{f}_n, \quad (5)$$

где μ_n^2 — собственные числа; \bar{f}_n — моды разложения начального состояния $f(X)$ в (2) в ряд вида (4):

$$f(X) = \sum_{n=1}^{\infty} \bar{f}_n \varphi_n(X); \quad \bar{f}_n = \int_V f(Y) \varphi_n(Y) r(Y) dY, \quad (6)$$

$$k_{Vn} = \int_V g_V(Y) \varphi_n(Y) r(Y) dY; \quad k_{Sn} = \int_S g_S(Y) \varphi_n(Y) r(Y) dS(Y). \quad (7)$$

Пусть качество процесса управления оценивается применительно к модели (5)–(7) объекта управления (1)–(4) совокупностью различных критериев оптимальности $I_p(u)$, $p = \overline{1, q}$, $q > 1$, представляемых в форме интегральных функционалов

$$I_p(u) = \int_0^{t^*} f_{0p}(\bar{Q}, u) dt \rightarrow \min_{u \in \Omega_p}, \quad p = \overline{1, q}, \quad \bar{Q} = (\bar{Q}_n(t)), \quad (8)$$

с известными подынтегральными достаточно гладкими функциями f_{0p} своих аргументов.

Проблема сводится к поиску управляющих воздействий для объекта управления (5), обеспечивающих минимизацию* всех $I_p(u)$ на компактных множествах $\Omega_p = \{u: \Phi_p(u) \leq \varepsilon_{0p}, u \in [u_{\min}, u_{\max}]\}$ в (8) в условиях учёта заданных для каждого $p \in \{\overline{1, q}\}$ достижимых на Ω_p ограничений на величину ε_{0p} допустимых погрешностей $\Phi_p(u)$ отклонения конечных состояний $Q_p(X, t^*)$, $X \in V$, объекта (4) от требуемой постоянной величины $Q_c = \text{const}$:

$$\Phi_p(u) = \max_{X \in V} |Q_p(X, t^*) - Q_c| = \max_{X \in V} \left| \sum_{n=1}^{\infty} \bar{Q}_{pn}(t^*) \varphi_n(X) - Q_c \right| \leq \varepsilon_{0p}, \quad (9)$$

где значения ε_{0p} оцениваются в равномерной метрике на множестве $V \ni X$ применительно к представляющим наибольший интерес ситуациям в прикладных задачах [8–10, 14]. Здесь согласно (4) $\bar{Q}_{pn}(t^*)$ — временные моды $Q_p(X, t^*)$.

В итоге может быть сформулирована многокритериальная задача [1–7]:

$$I_{\Sigma} \rightarrow \min_{u \in \Omega_{\Sigma}}; \quad I_{\Sigma} = (I_p(u)), \quad p = \overline{1, q}, \quad (10)$$

$$\Omega_{\Sigma} = \{u: \Phi_{\Sigma}(u) \leq \varepsilon_0, u \in [u_{\min}, u_{\max}]\};$$

$$\Phi_{\Sigma}(u) = \max_{X \in V} |Q(X, t^*) - Q_c| = \max_{X \in V} \left| \sum_{n=1}^{\infty} \bar{Q}_n(t^*) \varphi_n(X) - Q_c \right| \quad (11)$$

*Задачи на максимум I_p , $p \in \{\overline{1, q}\}$, приводятся к минимизации $-I_p$.

минимизации q критериев I_p согласно (10) с учётом ограничения (11) на априори фиксируемую по условиям выполнения неравенств $\varepsilon_0 \leq \varepsilon_{0p} \forall p = \overline{1, q}$ величину ε_0 погрешности равномерного приближения $Q(X, t^*)$ к Q_c при управлении объектом (5). Здесь исключается тривиальный случай совпадения решений u_p^* задач (8), (9) по каждому из критериев I_p для всех $p = \overline{1, q}$.

Эквивалентная форма однокритериальной задачи оптимального управления. Традиционные методы векторной оптимизации используют различные способы свёртывания предварительно приводимых к соизмеримому виду (нормализуемых) критериев эффективности I_p в (8) [1–7]. В частности, не влияющий на результат решения задачи (10), (11) переход от I_p к относительным равнозначным оценкам [4, 5]

$$\lambda_p(u) = \frac{I_p(u) - I_p^*}{I_p^0 - I_p^*}, \quad 0 \leq \lambda_p(u) \leq 1, \quad p = \overline{1, q}, \quad (12)$$

приводит (в отличие от типовой формы с весовыми коэффициентами) к минимаксной свёртке исходной МЗУ (10), (11) следующего вида:

$$\lambda(u) = \max_{p \in \{1, q\}} \lambda_p(u) \rightarrow \min_{u \in \Omega_\Sigma}, \quad (13)$$

точка оптимума которой

$$u^{**} = \arg \min_{u \in \Omega_\Sigma} \left[\max_{p \in \{1, q\}} \lambda_p(u) \right] \quad (14)$$

априори принадлежит множеству Парето исходной МЗУ и может рассматриваться в качестве искомого оптимального управления в задаче (10), (11) [2–6]. В выражении (12) I_p^* — минимальная величина I_p , достигаемая при управлении u_p^* в условиях (9):

$$I_p^* = \min_{u \in \Omega_p} I_p(u); \quad u_p^* = \arg \min_{u \in \Omega_p} I_p(u); \quad \lambda_p(u_p^*) = 0, \quad (15)$$

и I_p^0 — «наихудшее» значение $I_p(u)$ на множестве Ω_p .

Минимаксная задача (13) эквивалентна обычной однокритериальной задаче с интегральным функционалом качества

$$I = \frac{1}{t^*} \int_0^{t^*} \lambda^0 dt = \lambda^0 \rightarrow \min_{u \in \Omega_\Sigma}, \quad \lambda^0 = \text{const}, \quad (16)$$

с ограничениями на величину

$$\lambda_p(u) \leq \lambda^0, \quad p = \overline{1, q}, \quad (17)$$

и минимизируемым параметром λ^0 , вводимым согласно уравнению

$$d\lambda^0/dt = 0. \quad (18)$$

В итоге исходная МЗУ (10), (11) сводится без каких-либо погрешностей в рамках рассматриваемых моделей к отысканию решения u^{**} задачи (16)–(18) с одним критерием оптимальности I в условиях заданных ограничений в (11) и (17).

Введём в рассмотрение новые переменные $z_p(u)$, $p = \overline{1, q}$, описываемые уравнениями

$$dz_p/dt = f_{0p}; \quad z_p(t^*) = I_p(u), \quad p = \overline{1, q}, \quad (19)$$

где f_{0p} — подынтегральные функции частных критериев оптимальности в (8). Дополнив модель объекта (5) уравнениями (18), (19) и имея в виду выражения (8), (12) для $I_p(u)$ и $\lambda_p(u)$, приходим к следующей эквивалентной форме задачи (16)–(18).

Необходимо определить стесняемое условиями (3) управляющее воздействие $u^{**}(t)$, которое переводит объект управления (5), (18), (19) в требуемое согласно (11) конечное состояние при минимальном значении критерия оптимальности (16) с учётом дополнительных ограничений на конечные значения $z_p(t^*)$, $p = \overline{1, q}$, новых переменных $z_p(t)$ в соответствии с (12), (17), (19):

$$\frac{z_p(t^*) - I_p^*}{I_p^0 - I_p^*} \leq \lambda^0, \quad p = \overline{1, q}. \quad (20)$$

На задачу (16), (20) оптимального управления бесконечномерным объектом (5), (18), (19) распространяется принцип максимума Понтрягина [9].

Базовое условие

$$H(\bar{Q}^{**}(t), u^{**}(t), \bar{\Psi}^{**}(t)) = \max_{u \in [u_{\min}, u_{\max}]} H(\bar{Q}^{**}(t), u(t), \bar{\Psi}^{**}(t)), \quad t \in (0, t^*), \quad (21)$$

достижения максимума функции Понтрягина

$$H(\bar{Q}(t), u(t), \bar{\Psi}(t)) = -\lambda^0 + \sum_{n=1}^{\infty} \Psi_n(t)(-\mu_n^2 \bar{Q}_n + k_{Vn} u_V(t) + k_{Sn} u_S(t)) + \sum_{p=1}^q \tilde{\Psi}_p f_{0p} \quad (22)$$

в оптимальном процессе $(\bar{Q}^{**}(t), u^{**}(t), \bar{\Psi}^{**}(t))$, где вектор сопряжённых переменных $\bar{\Psi}(t) = (\tilde{\Psi}_p, p = \overline{1, q}; \Psi_n(t), n = 1, 2, \dots)$ описывается уравнениями

$$\frac{d\tilde{\Psi}_p}{dt} = -\frac{\partial H}{\partial z_p} = 0, \quad p = \overline{1, q}; \quad \frac{d\Psi_n}{dt} = -\frac{\partial H}{\partial \bar{Q}_n}, \quad n = 1, 2, \dots, \quad (23)$$

как правило, позволяет найти $u^{**}(t)$ в форме явной функции $u^{**}(\bar{Q}^{**}(t), \bar{\Psi}^{**}(t))$ переменных $\bar{Q}(t)$ и $\bar{\Psi}(t)$ независимо от ограничений (11) и (20) на конечное состояние объекта управления [15].

Редукция к задаче полубесконечной оптимизации. Найденные из (21) зависимости $u^{**}(\bar{Q}^{**}, \bar{\Psi}^{**})$ во многих случаях непосредственно устанавливают структуру искомого оптимального алгоритма $u^{**}(t)$ (и аналогичным образом $u_p^*(t)$ в задаче (15)) в форме их параметрического описания с точностью до вектора $\Delta^{(N)} = (\Delta_i^{(N)})$, $i = \overline{1, N}$, упорядоченной последовательности конечного числа N параметров $\Delta_1^{(N)}, \Delta_2^{(N)}, \dots, \Delta_N^{(N)}$, непосредственно характеризующих поведение $u^{**}(t)$, $u_p^*(t)$ в пространственно-временной области их определения [8–10].

Интегрирование уравнений объекта (5) с параметризованным управлением $u(\Delta^{(N)}, t)$ приводит в таких случаях к представлению критериев оптимальности I_p в (8), λ_p в (12) и конечных состояний $Q_p(X, t^*)$, $Q(X, t^*)$ в (9), (11) в виде явных достаточно гладких зависимостей $I_p(\Delta^{(N)})$, $\lambda_p(\Delta^{(N)})$, $Q_p(X, \Delta^{(N)})$ и $Q(X, \Delta^{(N)})$ от $\Delta^{(N)}$, если считать известными значения I_p^* и I_p^0 в (12).

Размерность N вектора $\Delta^{(N)}$ устанавливается по известным правилам в зависимости от значения ε_0 в (11) либо априори фиксируется возможностями технической реализации $\Delta^{(N)}$ -параметризуемых управляющих воздействий [8–10, 14].

В результате производится точная редукция задачи (16)–(20) оптимального управления объектом (5), (18), (19) к задаче минимизации целевой функции

$$I = \lambda^0(\Delta^{(N)}) \rightarrow \min_{\Delta^{(N)} \in G_N} \quad (24)$$

конечного числа N переменных $\Delta_i^{(N)}$, $i = \overline{1, N}$, на допустимом множестве $G_N \ni \Delta^{(N)}$ их изменения с бесконечным числом ограничений

$$\Phi_\Sigma(\Delta^{(N)}) = \max_{X \in V} |Q(X, \Delta^{(N)}) - Q_c| \leq \varepsilon_0, \quad (25)$$

диктуемых в силу (25) требованиями (11) для всех $X \in V$ и дополняемых в соответствии с (17), (20) неравенствами

$$\lambda_p(\Delta^{(N)}) = \frac{I_p(\Delta^{(N)}) - I_p^*}{I_p^0 - I_p^*} \leq \lambda^0, \quad p = \overline{1, q} \quad (26)$$

(задача полубесконечной оптимизации [8, 9]).

Ограничимся далее наиболее характерным для приложений случаем

$$\varepsilon_0 = \min \varepsilon(\Delta^{(N)}) = \min_{\Delta^{(N)} \in G_N} \left[\max_{X \in V} |Q(X, \Delta^{(N)}) - Q_c| \right] \quad (27)$$

в (25) с минимально достижимой величиной ε_0 в классе $\Delta^{(N)}$ -параметризуемых управлений.

Задача (24)–(27) сводится [8] к минимаксной задаче

$$\Phi_\Sigma(\Delta^{(N)}) \rightarrow \min_{\Delta^{(N)} \in G_N} . \quad (28)$$

Её решение $\bar{\Delta}^{(N)}$ обладает альтернансными свойствами [8–10], согласно которым выполняются равенства

$$|Q(X_j^0, \bar{\Delta}^{(N)}) - Q_c| = \min \varepsilon(\Delta^{(N)}), \quad j = \overline{1, R}, \quad R = N + 1, \quad (29)$$

в некоторых точках $X_j^0 \in V$, $j = \overline{1, R}$. Число R этих точек оказывается равным числу $N + 1$ всех неизвестных в (28), включая все компоненты $\bar{\Delta}_i^{(N)}$, $i = \overline{1, N}$, искомого вектора $\bar{\Delta}^{(N)}$ и априори неизвестную величину минимакса $\min \varepsilon(\Delta^{(N)})$. При наличии дополнительной информации из предметной области о конфигурации зависимостей $Q(X, \bar{\Delta}^{(N)})$ от $X \in V$, позволяющей идентифицировать значения X_j^0 и знаки разностей $Q(X_j^0, \bar{\Delta}^{(N)}) - Q_c$, равенства (29) вместе с условиями

$$\frac{\partial}{\partial X} Q(X_{j\nu}^0, \bar{\Delta}^{(N)}) = 0, \quad \nu = \overline{1, R_1}, \quad (30)$$

существования экстремума функции $Q(X, \bar{\Delta}^{(N)})$ в точках $X_{j\nu}^0 \in \text{int}V$, $\nu = \overline{1, R_1}$, $R_1 \leq R$, трансформируются к замкнутой системе $N + R_1 + 1$ уравнений, решение которой (как правило, единственное) относительно всех искомым величин $\bar{\Delta}_i^{(N)}$, $i = \overline{1, N}$, $\min \varepsilon(\Delta^{(N)})$ и промежуточных неизвестных $X_{j\nu}^0$, $\nu = \overline{1, R_1}$, находится известными численными методами.

По найденному указанным способом вектору $\bar{\Delta}^{(N)}$ и известным зависимостям $\lambda_p(\Delta^{(N)})$ вычисляется достигаемое в условиях (27) минимальное значение λ_{\min}^0 целевой функции (24):

$$\lambda_{\min}^0 = \min_{\Delta^{(N)} \in G_N} \lambda^0(\Delta^{(N)}) = \lambda^0(\bar{\Delta}^{(N)}) = \max_{p \in \{\bar{1}, \bar{q}\}} \lambda_p(\bar{\Delta}^{(N)}), \quad (31)$$

«автоматически» обеспечивая выполнение условий (26) и завершая тем самым решение задачи (24)–(27).

Для определения λ_{\min}^0 в (31) необходимо предварительно найти I_p^* и I_p^0 для всех $p = \bar{1}, \bar{q}$ в (12).

Однокритериальные задачи оптимизации (8), (9) после параметризации искомых управлений приводятся, подобно (24), (25), к задаче полубесконечной оптимизации следующего вида:

$$I_p([\Delta^{(N)}]_p) \rightarrow \min_{[\Delta^{(N)}]_p}; \quad \Phi_p([\Delta^{(N)}]_p) = \max_{X \in V} |Q(X, [\Delta^{(N)}]_p) - Q_c| \leq \varepsilon_{0p}, \quad (32)$$

где $[\Delta^{(N)}]_p$ — элементы подмножества $\{[\Delta^{(N)}]_p\} \subset \{\Delta^{(N)} \in G_N\}$ значений $\Delta^{(N)}$ в p -й задаче (32), а ε_{0p} выбираются далее аналогично (27):

$$\varepsilon_{0p} = \min \varepsilon([\Delta^{(N)}]_p) = \min_{[\Delta^{(N)}]_p} \left[\max_{X \in V} |Q(X, [\Delta^{(N)}]_p) - Q_c| \right]. \quad (33)$$

Отсюда следует, в частности, в соответствии с (27), (33), что

$$\varepsilon_0 \leq \varepsilon_{0p}, \quad p = \bar{1}, \bar{q}, \quad \text{при } \{[\Delta^{(N)}]_p\} \subset \{\Delta^{(N)} \in G_N\}, \quad (34)$$

и поэтому все ограничения (32), (33) заведомо выполняются в условиях (25), (27), (28), (34).

На решениях $\Delta^{[p]}$ задач (32) по описанной схеме альтернансного метода в (12) определяются величины

$$I_p^* = I_p(\Delta^{[p]}), \quad p = \bar{1}, \bar{q}. \quad (35)$$

Максимально возможные значения I_p^0 критерия I_p формально задаются зависимостями

$$I_p^0 = I_p(\tilde{\Delta}^{[p]}), \quad \tilde{\Delta}^{[p]} = \arg \max_{[\Delta^{(N)}]_p \in G_N} I_p([\Delta^{(N)}]_p: \Phi_p([\Delta^{(N)}]_p) \leq \min \varepsilon([\Delta^{(N)}]_p)), \quad (36)$$

однако величины I_p^0 , $p = \bar{1}, \bar{q}$, могут быть установлены проще, например по следующему алгоритму:

$$I_k^0 = \max_{\substack{p \in \{\bar{1}, \bar{q}\} \\ p \neq k}} I_k(\Delta^{[p]}), \quad k = \bar{1}, \bar{q}, \quad (37)$$

или исходя из физических соображений в каждой конкретной задаче.

В итоге решение по описанной схеме альтернансного метода задач полубесконечной оптимизации (32) и (24)–(27) с вычислением λ_{\min}^0 , I_p^* и I_p^0 согласно (31), (35) и (36) (или (37)) исчерпывает решение исходной МЗУ (13).

Многокритериальная задача управления объектом технологической теплофизики. В качестве примера, представляющего самостоятельный интерес, рассмотрим многокритериальную задачу оптимизации процесса индукционного нагрева металлических полуфабрикатов перед обработкой давлением [16, 17].

Пусть температурное поле $Q(x, t)$ тела цилиндрической формы в процессе индукционного нагрева описывается в зависимости от радиальной координаты x и времени t неоднородным одномерным уравнением теплопроводности в относительных единицах вида (1), (2) [14]:

$$\frac{\partial Q(x, t)}{\partial t} = \frac{\partial^2 Q(x, t)}{\partial x^2} + \frac{1}{x} \frac{\partial Q(x, t)}{\partial x} + g_V(x)u_V(t), \quad 0 < t < t^*, \quad 0 < x < 1, \quad (38)$$

$$Q(x, 0) = Q^0 = \text{const}, \quad 0 \leq x \leq 1; \quad \frac{\partial Q(0, t)}{\partial x} = 0; \quad \frac{\partial Q(1, t)}{\partial x} + \beta Q(1, t) = 0. \quad (39)$$

Здесь заданный коэффициент $\beta = \text{const} > 0$ определяет уровень тепловых потерь в окружающую среду с температурой Q^0 на внешней поверхности цилиндра $x = 1$; $g_V(x)$ — известная функция радиального распределения электромагнитных источников тепла [14]; $u_V(t)$ — суммарная удельная мощность внутреннего тепловыделения, рассматриваемая в качестве управляющего воздействия, стеснённого ограничением (3)

$$0 \leq u_V(t) \leq 1, \quad 0 < t \leq t^*. \quad (40)$$

В пространстве модальных переменных $\bar{Q}_n(t)$, $n = 1, 2, \dots$, объект управления (38), (39) описывается бесконечной системой дифференциальных уравнений вида (5):

$$d\bar{Q}_n/dt = -\mu_n^2 \bar{Q}_n + k_{Vn} u_V(t), \quad \bar{Q}_n(0) = \bar{Q}_n^0, \quad n = 1, 2, \dots \quad (41)$$

Температурное поле представляется его разложением (4) в ряд по собственным функциям Бесселя нулевого порядка $J_0(\mu_n x)$:

$$Q(x, t) = \sum_{n=1}^{\infty} \frac{2\mu_n^2 J_0(\mu_n x)}{(\mu_n^2 + \beta^2) J_0^2(\mu_n)} \bar{Q}_n(t), \quad (42)$$

где μ_n^2 — известные собственные числа [10, 18].

Пусть качество процесса индукционного нагрева с априори фиксируемой длительностью t^* описывается тремя рассматриваемыми в качестве критериев оптимальности типичными технико-экономическими показателями вида (8), характеризующими расход энергии на нагрев ($I_1(u_V)$), потери металла в окалину ($I_2(u_V)$) и точность приближения к заданному конечному температурному состоянию ($I_3(u_V)$), оцениваемую в равномерной метрике [10, 14, 16–18]:

$$I_1(u_V) = \int_0^{t^*} u_V dt \rightarrow \min_{u_V \in \Omega_1}, \quad (43)$$

$$I_2(u_V) = \int_0^{t^*} f_{02}(Q(1, t)) dt \rightarrow \min_{u_V \in \Omega_2}, \quad f_{02}(Q(1, t)) = \begin{cases} 0, & Q(1, t) \leq Q_h, \\ (Q(1, t) - Q_h)^{r+1}, & Q(1, t) \geq Q_h, \end{cases} \quad (44)$$

$$I_3(u_V) = \int_0^{t^*} \frac{\tilde{\varepsilon}}{t^*} dt = \tilde{\varepsilon} \rightarrow \min_{u_V \in \Omega_3}; \quad \frac{d\tilde{\varepsilon}}{dt} = 0. \quad (45)$$

Функционалы качества (43)–(45) требуется минимизировать при управлении объектом (41) в условиях заданных ограничений (3), (9) на управляющее воздействие $u_V \in \Omega_p$, $p = 1, 2, 3$, где

$$\Omega_p = \{u_V: \Phi_p(u_V) \leq \varepsilon_{0p}, u_V \in [0, 1]\}, \quad p = 1, 2, 3,$$

$$\Phi_p(u_V) = \max_{x \in [0, 1]} |Q_p(x, t^*) - Q_c| = \max_{x \in [0, 1]} \left| \sum_{n=1}^{\infty} \frac{2\mu_n^2 J_0(\mu_n x)}{(\mu_n^2 + \beta^2) J_0^2(\mu_n)} \bar{Q}_{pn}(t^*) - Q_c \right|. \quad (46)$$

Здесь Q_h — известная в (44) температурная граница процесса окисления; $Q(1, t)$ — температура поверхности нагреваемой заготовки; r — заданное число; требуемая конечная температура $Q_c > Q_h$ в (44) и I_3 в (45) вместе с ограничением (46) для $p = 3$ при $\varepsilon_{0p} \Big|_{p=3} = \tilde{\varepsilon}$ представляет собой эквивалентную форму интегрального функционала в задаче минимаксной оптимизации точности нагрева [19].

Соответствующая многокритериальная задача (10), (11) после её минимаксной свёртки (13) с равнозначными относительными оценками (12) приводится применительно к расширенной системе уравнений модели объекта (41), (18), (19) к виду (16)–(20) с одним критерием оптимальности (16), где

$$\Omega_{\Sigma} = \{u_V(t): \Phi_{\Sigma}(u_V) \leq \varepsilon_0, u_V \in [0, 1]\},$$

$$\Phi_{\Sigma}(u_V) = \max_{x \in [0, 1]} |Q(x, t^*) - Q_c| = \max_{x \in [0, 1]} \left| \sum_{n=1}^{\infty} \frac{2\mu_n^2 J_0(\mu_n x)}{(\mu_n^2 + \beta^2) J_0^2(\mu_n)} \bar{Q}_n(t^*) - Q_c \right| \quad (47)$$

и f_{0p} , $p = 1, 2, 3$, в (19) — подынтегральные функции в (43)–(45).

Функция Понтрягина (22) в данной однокритериальной задаче оптимизации с учётом выражений для f_{0p} в (43)–(45) записывается в следующей форме:

$$\begin{aligned} H(\bar{Q}, u_V, \tilde{\Psi}) = & -\lambda^0 + \sum_{n=1}^{\infty} \Psi_n(t)(-\mu_n^2 \bar{Q}_n + k_{Vn} u_V) + \tilde{\Psi}_1 u_V + \\ & + \tilde{\Psi}_2 f_{02} \left(\sum_{n=1}^{\infty} \frac{2\mu_n^2}{(\mu_n^2 + \beta^2) J_0(\mu_n)} \bar{Q}_n \right) + \tilde{\Psi}_3 \frac{\tilde{\varepsilon}}{t^*}, \end{aligned} \quad (48)$$

где в соответствии с (23)

$$\tilde{\Psi}_p = \text{const}, \quad p = 1, 2, 3;$$

$$\frac{d\Psi_j}{dt} = -\frac{\partial H}{\partial \bar{Q}_j} = \mu_j^2 \Psi_j - \tilde{\Psi}_2 \frac{2\mu_j^2}{(\mu_j^2 + \beta^2) J_0(\mu_j)} \frac{\partial f_{02}}{\partial Q(1, t)}, \quad j = 1, 2, \dots \quad (49)$$

Согласно условию максимума (21) искомое оптимальное управление определяется в форме релейной функции времени

$$u_V^{**}(t) = \frac{1}{2} \left[1 + \text{sign} \left(\tilde{\Psi}_1^{**} + \sum_{n=1}^{\infty} k_{Vn} \Psi_n^{**}(t) \right) \right] \quad (50)$$

на всех интервалах изменения оптимальной программы, где не выполняется тождественно равенство

$$\tilde{\Psi}_1^{**} + \sum_{n=1}^{\infty} k_{Vn} \Psi_n^{**}(t) \equiv 0 \quad (51)$$

или является особым управлением $u_0(t)$ [20] на тех участках в её составе, где последнее соотношение имеет место.

Можно показать подобно [18], что искомая оптимальная программа (50), действительно, содержит особые участки (51), на которых минимизируются потери металла в окалину, существенно усложняя проблему однозначного выбора структуры $u_V^{**}(t)$ из множества допустимых вариантов.

Ограничимся далее типичной наиболее просто реализуемой ситуацией с определяемой в соответствии с (50), (51) программой оптимального управления [14, 18]

$$u_V^{**}(t) = \begin{cases} 1, & 0 \leq t \leq t_1, \\ u_0(t), & t_1 < t < t_2, \\ 0, & t_2 < t \leq t^*, \end{cases} \quad (52)$$

которая содержит единственный участок длительностью $t_2 - t_1$ с особым управлением $u_0(t)$ при заданной величине $t^* > t_2$ (рис. 1, а).

Как показано в [14, 18], если ограничиться учётом только двух уравнений модели объекта (41) для $n = 1, 2$ и соответственно первых двух сопряжённых переменных Ψ_1, Ψ_2

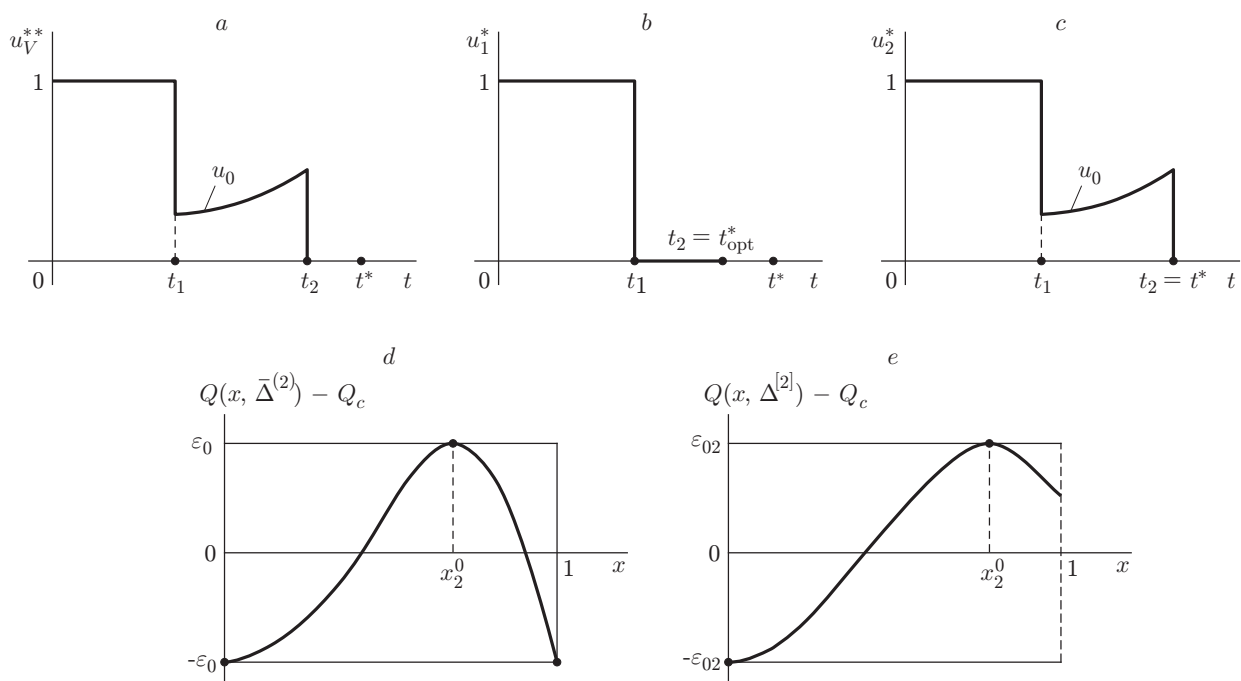


Рис. 1. Базовые характеристики оптимального процесса: структура управляющих воздействий (а—с) и формы кривых пространственного распределения конечных температурных состояний (d, e) в процессе многокритериальной оптимизации

в (49), (51), то управление (52) является в первом приближении оптимальным по критерию (44) при $t^* > t_2$, а особое управление при этом описывается выражением

$$u_0(t, t_1) = C_1(t_1) \exp\left[\frac{A_1}{r}(t - t_1)\right] + C_2(t_1) \exp[A_2(t - t_1)] + C_3 \quad (53)$$

с известными согласно [14, 18] постоянными коэффициентами A_1, A_2, C_3 и зависимостями $C_1(t_1), C_2(t_1)$.

В итоге при фиксированной величине t^* оптимальное управление (52) однозначно характеризуется его параметрическим представлением с точностью до вектора $\Delta^{(N)} = \Delta^{(2)} = (\Delta_1^{(2)}, \Delta_2^{(2)})$ параметров $\Delta_1^{(2)} = t_1, \Delta_2^{(2)} = t_2$ — начального и конечного моментов особого участка. Последующее интегрирование уравнений (41), (42) модели объекта с параметризованным управлением $u_V(\Delta^{(2)}, t)$ приводит к получению критериев оптимальности (43)–(45), $\lambda_p(u)$ в (12) и конечного состояния $Q(x, t^*)$ в форме явных зависимостей $I_p(\Delta^{(2)}), \lambda_p(\Delta^{(2)}), p = \overline{1, 3}$, и $Q(x, \Delta^{(2)})$ от x и $\Delta^{(2)}$, что обеспечивает редукцию к задаче полубесконечной оптимизации вида (24)–(27):

$$I = \lambda^0(\Delta^{(2)}) \rightarrow \min_{\Delta^{(2)} \in G_2}, \quad (54)$$

$$\Phi_\Sigma(\Delta^{(2)}) = \max_{x \in [0, 1]} |Q(x, \Delta^{(2)}) - Q_c| \leq \min \varepsilon(\Delta^{(2)}), \quad (55)$$

$$\lambda_p(\Delta^{(2)}) = \frac{I_p(\Delta^{(2)}) - I_p^*}{I_p^0 - I_p^*} \leq \lambda^0, \quad p = \overline{1, 3}. \quad (56)$$

Здесь для варианта (53) будем иметь согласно (41), (42) [14, 18]

$$Q(x, \Delta^{(2)}) = Q^0 + \sum_{n=1}^{\infty} \frac{2kV_n J_0(\mu_n x)}{(\mu_n^2 + \beta^2) J_0^2(\mu_n)} F_n(t_1, t_2) \exp(-\mu_n^2 t^*);$$

$$F_n(t_1, t_2) = \exp(\mu_n^2 t_1) - 1 + \frac{C_1(t_1) \exp(-A_1 t_1 / r)}{A_1 / (r \mu_n^2) + 1} [\exp((A_1 / r + \mu_n^2) t_2) - \exp((A_1 / r + \mu_n^2) t_1)] + \quad (57)$$

$$+ \frac{C_2(t_1) \exp(-A_2 t_1)}{A_2 / \mu_n^2 + 1} [\exp((A_2 + \mu_n^2) t_2) - \exp((A_2 + \mu_n^2) t_1)] + C_3 [\exp(\mu_n^2 t_2) - \exp(\mu_n^2 t_1)].$$

При известной форме кривой $Q(x, \bar{\Delta}^{(2)})$ пространственного распределения конечного температурного состояния, достигаемого на решении $\bar{\Delta}^{(2)}$ задачи (54)–(56) (рис. 1, d) [14, 18], равенства (29) при $N = 2, R = 3$ в трёх точках альтернанса $x_1^0 = 0, x_2^0 \in (0, 1), x_3^0 = 1$ вместе с условием экстремума в точке x_2^0 максимума $Q(x, \bar{\Delta}^{(2)})$ редуцируются к расчётной системе четырёх уравнений альтернансного метода:

$$Q(0, \bar{\Delta}^{(2)}) - Q_c = -\min \varepsilon(\Delta^{(2)}); \quad Q(x_2^0, \bar{\Delta}^{(2)}) - Q_c = \min \varepsilon(\Delta^{(2)}); \quad (58)$$

$$Q(1, \bar{\Delta}^{(2)}) - Q_c = -\min \varepsilon(\Delta^{(2)}); \quad \frac{\partial Q(x_2^0, \bar{\Delta}^{(2)})}{\partial x} = 0,$$

решение которой относительно всех четырёх неизвестных параметров оптимального процесса $\bar{\Delta}_1^{(2)} = t_1, \bar{\Delta}_2^{(2)} = t_2, \min \varepsilon(\Delta^{(2)})$ и координаты x_2^0 находится известными численными методами.

В соответствии с (31) по найденному указанным способом вектору $\bar{\Delta}^{(2)}$ при известных величинах I_p^* , I_p^0 последующее вычисление

$$\lambda_{\min}^0 = \max_{p=1,2,3} \lambda_p(\bar{\Delta}^{(2)}) \quad (59)$$

обеспечивает выполнение неравенств (56), завершая решение исходной задачи полубесконечной оптимизации (54)–(56).

Для определения I_p^* необходимо предварительно решить частные аналогичные задачи вида (32), (33) при $\Delta^{(N)} = \Delta^{(2)} = (t_1, t_2)$.

Применительно к критерию (43) минимальный расход энергии I_1^* достигается при нефиксируемом заранее моменте t_{opt}^* окончания процесса управления с релейной формой, не содержащего особого участка алгоритма (52) (рис. 1, *b*) [14, 18], параметрически представляемого в этих условиях согласно (32), (33) на подмножестве $\{[\Delta^{(2)}]_{p=1}\}$ векторов $\Delta^{(2)} = (t_1, t_2 < t^*)$ в (54)–(56), где

$$\{[\Delta^{(2)}]_{p=1}\} = \{\Delta^{(2)} = (t_1, t_2): t_2 = t_{\text{opt}}^*, u_0 = 0\}. \quad (60)$$

Здесь t_{opt}^* совпадает с минимальным временем t_{\min}^* достижения требуемой величины $\varepsilon_{01} = \min \varepsilon([\Delta^{(2)}]_{p=1})$ [14, 18], и тогда всегда выполняется условие $t_{\text{opt}}^* < t^*$ для фиксируемого значения t^* в задаче (54)–(56).

В таком случае задержка начала процесса управления на время $t^* - t_{\text{opt}}^*$ обеспечивает поиск I_1^* на подмножестве (60).

В итоге задача (32), (33) для $p = 1$ сводится к виду

$$I_1([\Delta^{(2)}]_{p=1}) = t_1 \rightarrow \min_{t_1, t_{\text{opt}}^*}; \quad (61)$$

$$\Phi_1([\Delta^{(2)}]_{p=1}) = \max_{x \in [0, 1]} |Q(x, [\Delta^{(2)}]_{p=1}) - Q_c| \leq \min \varepsilon([\Delta^{(2)}]_{p=1}),$$

где, как следует из (41), (42), (52), (60) [14, 18],

$$Q(x, [\Delta^{(2)}]_{p=1}) = Q^0 + \sum_{n=1}^{\infty} \frac{2\mu_n^2 J_0(\mu_n x)}{(\mu_n^2 + \beta^2) J_0^2(\mu_n)} [\exp(-\mu_n^2(t_{\text{opt}}^* - t_1)) - \exp(-\mu_n^2 t_{\text{opt}}^*)]. \quad (62)$$

Решение $\Delta^{[1]} = (t_{1\text{opt}}, t_{\text{opt}}^*)$ этой задачи обладает подобными (29) альтернативными свойствами, которые при сохранении формы кривой $Q(x, \Delta^{[1]})$, показанной на рис. 1, *d* [14, 18], приводят к аналогичной (58) системе уравнений, где требуется заменить только $\bar{\Delta}^{(2)}$ значением $\Delta^{[1]}$, $\min \varepsilon(\Delta^{(2)})$ решением $\min \varepsilon([\Delta^{(2)}]_{p=1})$ и представить $Q(x, [\Delta^{[1]}])$ в форме (62).

Последующее вычисление $\Delta^{[1]}$ позволяет найти

$$I_1^* = t_{1\text{opt}} \quad (63)$$

согласно (61).

Минимизация I_2 в (44) обеспечивается в условиях максимальной длительности особого участка при $t_2 = t^*$ в (52) (рис. 1, *c*) [14, 18], и, следовательно, в данном случае вместо (60) будем иметь

$$\{[\Delta^{(2)}]_{p=2}\} = \{\Delta^{(2)} = (t_1, t_2): t_2 = t^*\} \quad (64)$$

при фиксируемой заведомо величине t^* , т. е. получаем однопараметрическое представление $[\Delta^{(2)}]_{p=2} = t_1$.

Таким образом, задача (32), (33) для $p = 2$ принимает следующий вид:

$$I_2(t_1) \rightarrow \min_{t_1}; \quad \Phi_2(t_1) = \max_{x \in [0, 1]} |Q(x, t_1) - Q_c| \leq \min \varepsilon([\Delta^{(2)}]_{p=2}), \quad (65)$$

где зависимости $Q(x, t_1)$ и $I_2(t_1)$ рассчитываются на основании (41), (42), (44) при управлении (52) для рассматриваемого случая $t_2 = t^*$ с известным алгоритмом особого управления $u_0(t)$ в (52). Применительно к частному случаю (53) здесь $Q(x, t_1)$ определяется по формуле (57) при $t_2 = t^*$, а $I_2(t_1)$ находится в форме интеграла в (44) после подстановки выражения для $Q(x, t_1)$ при $x = 1$.

Альтернансные свойства (29) выполняются на решении $\Delta^{[2]} = t_{1\text{opt}}$ задачи (65) в условиях $N = 1, R = 2$. Можно показать аналогично [14, 18], что форма кривой $Q(x, \Delta^{[2]})$ принимает вид, показанный на рис. 1, e с двумя точками альтернанса $x_1^0 = 0, x_2^0 \in (0, 1)$, а соответствующая система теперь уже трёх уравнений для определения $\Delta^{[2]} = t_{1\text{opt}}, \min \varepsilon([\Delta^{(2)}]_{p=2})$ и x_2^0 выглядит следующим образом:

$$Q(0, \Delta^{[2]}) - Q_c = - \min \varepsilon([\Delta^{(2)}]_{p=2}); \quad (66)$$

$$Q(x_2^0, \Delta^{[2]}) - Q_c = \min \varepsilon([\Delta^{(2)}]_{p=2}); \quad \frac{\partial Q(x_2^0, \Delta^{[2]})}{\partial x} = 0.$$

По найденным корням этой системы вычисляется $I_2^* = I_2(t_{1\text{opt}}, t^*)$ для заданной величины t^* путём подстановки в (44) выражения для $Q(1, t)$, получаемого согласно (57) при $x = 1, t_2 = t^*$.

Применительно к критерию (45) с ограничением (46) для $p = 3$ в отличие от (60), (64) подмножество $\{[\Delta^{(2)}]_{p=3}\}$ совпадает со всем допустимым множеством значений $\Delta^{(2)} \in G_2$. Тогда параметризуемая задача минимаксной оптимизации точности нагрева (32), (33) для $p = 3$ в её исходной постановке формулируется как

$$I_3(\Delta^{(2)}) = \max_{x \in [0, 1]} |Q(x, \Delta^{(2)}) - Q_c| \rightarrow \min_{\Delta^{(2)} \in G_2}. \quad (67)$$

Решение задачи $\Delta^{[3]}$ совпадает с $\bar{\Delta}^{(2)}$ в (58) при

$$I_3^* = \min \tilde{\varepsilon} = \min \varepsilon(\Delta^{(2)}). \quad (68)$$

Значения $I_p^0, p = 1, 2, 3$, в (56) могут быть определены по алгоритму (37). По описанной схеме находятся решения $\bar{\Delta}^{(2)}(t^*), \lambda_{\min}^0(t^*) = \max_{p=1, 2, 3} \lambda_p(\bar{\Delta}^{(2)}(t^*))$ исходной МЗУ (54)–(56) в зависимости от априори фиксируемой величины t^* . При этом за счёт равенства $\Delta^{[3]} = \bar{\Delta}^{(2)}$ априори выполняется соотношение $\lambda_3(\bar{\Delta}^{(2)}(\bar{t}^*)) = 0$ при $p = 3$ в (56). Если предусматривается возможность варьирования значений t^* в некоторых пределах, то последовательность подобных решений на допустимом интервале изменения t^* позволяет установить оптимальное значение \bar{t}^* , на котором достигается минимальная величина λ^0 в (54):

$$\lambda_{\min \min}^0 = \min_{t^*} \lambda_{\min}^0(t^*) = \lambda_{\min}^0(\bar{t}^*) = \max_{p=1, 2, 3} \lambda_p(\bar{\Delta}^{(2)}(\bar{t}^*)). \quad (69)$$

На рис. 2 приведены некоторые результаты решения задачи полубесконечной оптимизации (54)–(56) при $Q^0 = -0,5; Q_c = 0; \beta = 0,5; Q_h = -0,125; r = 3,5; t^* = 0,44$. Применительно к этому случаю находятся значения $\lambda_p(\bar{\Delta}^{(2)})$ и λ_{\min}^0 , определяемые для вычисляемых по указанной схеме значений I_p^*, I_p^0 при $p = 1, 2, 3$: $\lambda_1(\bar{\Delta}^{(2)}) = 0,14, \lambda_2(\bar{\Delta}^{(2)}) = 0,10, \lambda_3(\bar{\Delta}^{(2)}) = 0, \lambda_{\min}^0 = \lambda_1(\bar{\Delta}^{(2)}) = 0,14$.

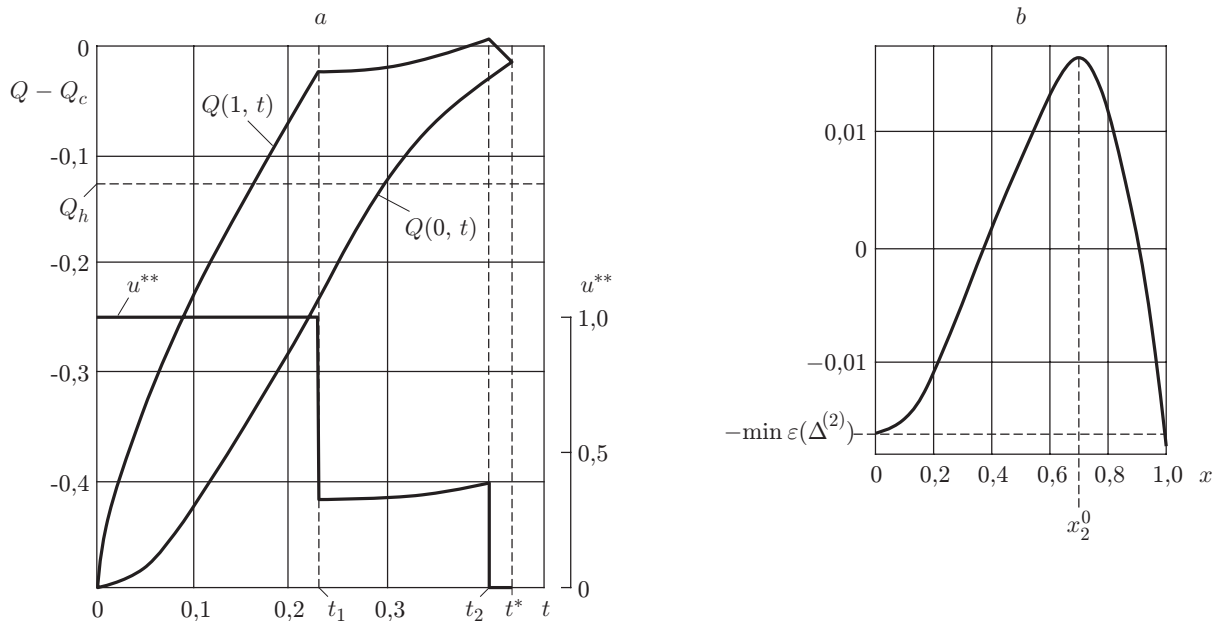


Рис. 2. Расчётные характеристики оптимального процесса: управляющее воздействие, температурное поле (а) и результирующее распределение температур $Q(x, \bar{\Delta}^{(2)}) - Q_c$ (б) в многокритериальной задаче индукционного нагрева

Заключение. Разработана конструктивная технология многокритериальной оптимизации широкого круга технических систем с распределёнными параметрами, описываемых линейными уравнениями в частных производных параболического типа.

В характерных для технических приложений условиях оценки требований к конечному состоянию объекта в равномерной метрике предлагаемая технология базируется на процедурах параметризации искомого управляющего воздействия и последующей редукции к специальной задаче математического программирования — задаче полубесконечной оптимизации, разрешаемой альтернансным методом [8–10]. Получаемые результаты апробированы на примере МЗУ ответственным объектом технологической теплофизики.

СПИСОК ЛИТЕРАТУРЫ

1. Моисеев Н. Н. Математические задачи системного анализа. М.: Наука, 1981. 488 с.
2. Гермейер Ю. Б. Введение в теорию исследования операций. М.: Наука, 1971. 383 с.
3. Гермейер Ю. Б. Игры с непротивоположными интересами. М.: Наука, 1976. 316 с.
4. Машунин Ю. К. Методы и модели векторной оптимизации. М.: Наука, 1986. 141 с.
5. Машунин Ю. К. Теоретические основы и методы векторной оптимизации в управлении экономическими системами. М.: Логос, 2001. 247 с.
6. Корнеенко В. П. Методы оптимизации. М.: Высш. шк., 2007. 664 с.
7. Токарев В. В. Методы оптимальных решений. Т. 2. Многокритериальность. Динамика. Неопределённость. М.: Физматлит, 2011. 416 с.
8. Рапопорт Э. Я. Альтернансный метод в прикладных задачах оптимизации. М.: Наука, 2000. 336 с.
9. Рапопорт Э. Я. Оптимальное управление системами с распределёнными параметрами. М.: Высш. шк., 2009. 677 с.

10. **Плешивцева Ю. Э., Рапопорт Э. Я.** Метод последовательной параметризации управляющих воздействий в краевых задачах оптимального управления системами с распределенными параметрами // Изв. РАН. Теория и системы управления. 2009. № 3. С. 22–33.
11. **Рапопорт Э. Я.** Программная управляемость линейных многомерных систем с распределенными параметрами // Изв. РАН. Теория и системы управления. 2015. № 2. С. 22–39.
12. **Кошляков Н. С., Глинер Э. Б., Смирнов М. М.** Уравнения в частных производных математической физики. М.: Высш. шк., 1970. 707 с.
13. **Рапопорт Э. Я., Левин И. С.** Структурно-параметрический синтез оптимальных по быстродействию систем управления с распределёнными параметрами в условиях интервальной неопределённости характеристик объекта // Автометрия. 2015. **51**, № 5. С. 3–16.
14. **Рапопорт Э. Я., Плешивцева Ю. Э.** Оптимальное управление температурными режимами индукционного нагрева. М.: Наука, 2012. 309 с.
15. **Понтрягин Л. С., Болтянский В. Г., Гамкрелидзе Р. В. Мищенко Е. Ф.** Математическая теория оптимальных процессов. М.: Наука, 1969. 384 с.
16. **Pleshivtseva Yu., Di Barba P., Rapoport E. et al.** Multi-objective optimization of induction heating processes: Methods of the problem solution and examples based on benchmark model // Intern. Journ. Microstructure and Materials Properties. 2013. **8**, N 4/5. P. 357–372.
17. **Pleshivtseva Yu., Di Barba P., Rapoport E. et al.** Multi-objective optimization of induction heaters design based on numerical coupled fields analysis // Intern. Journ. Microstructure and Materials Properties. 2014. **9**, N 6. P. 532–551.
18. **Рапопорт Э. Я.** Оптимизация процессов индукционного нагрева металла. М.: Металлургия, 1993. 278 с.
19. **Рапопорт Э. Я.** Минимаксная оптимизация стационарных состояний в системах с распределёнными параметрами // Изв. РАН. Теория и системы управления. 2013. № 2. С. 3–18.
20. **Габасов Р., Кириллова Ф. М.** Особые оптимальные управления. М.: Наука, 1973. 256 с.

Поступила в редакцию 13 апреля 2017 г.
